



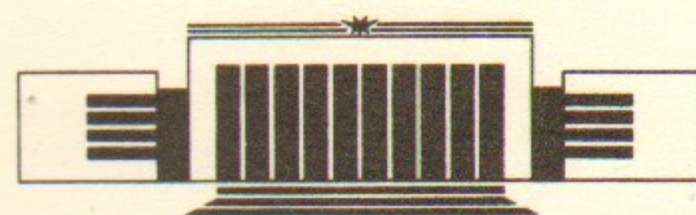
А.ЧН
Государственный научный центр
Российской Федерации
Институт ядерной физики
им. Г.И. Будкера

В.В. Анциферов

БЕСКОНТАКТНОЕ ИЗМЕРЕНИЕ
РАСХОДИМОСТИ ПУЧКА ИОНОВ H^-
В ИСТОЧНИКЕ



ИЯФ 96-54



НОВОСИБИРСК

Бесконтактное измерение расходимости пучка ионов H^- в источнике

B.B. Анциферов

Институт ядерной физики им. Г.И.Будкера СО РАН
630090 Новосибирск, Россия

Аннотация

Показана принципиальная возможность бесконтактного контроля с высокой точностью расходимости и эмиттанса ускоренного пучка ионов H^- на выходе из источника при использовании пассивной доплеровской спектроскопии пучка возбужденных атомов водорода, полученных при нейтрализации ионов с возбуждением на остаточном газе в тракте источника. При плотностях остаточного газа в тракте источника порядка $10^{-4} - 10^{-5}$ торр рассчитана интенсивность излучения H_α -линии, регистрируемая доплеровской системой, с учетом основных процессов возбуждения и девозбуждения уровней $3s, 3p$ и $3d$ атомов водорода пучка и показана возможность фотоэлектронной регистрации спектрального контура H_α -линии.

1 Введение

Контроль параметров пучка ионов H^- в процессе непрерывной работы источника является чрезвычайно актуальной задачей. Использование контактных датчиков [1–3] не решает этой проблемы, поскольку они вносят возмущения в пучок, увеличивают его расходимость и их практически невозможно использовать для непрерывного контроля расходимости пучка ионов в процессе работы источника. Единственным методом, позволяющим осуществлять такой невозмущающий контроль, является метод доплеровской спектроскопии, который применялся автором для контроля расходимости высокointенсивных пучков атомов и отрицательных ионов водорода в тракте ускорителя [4,5] и для измерения температуры атомов водорода в разряде плазмы поверхностно-плазменных источников ионов H^- [6,7].

2 Интенсивность H_{α} -линии, излучаемой ускоренным пучком частиц на выходе из источника

Транспортировка пучка ионов H^- по тракту источника сопровождается их нейтрализацией и возбуждением на частицах остаточного газа. Число фотонов $N(H_{\alpha})$, спонтанно излучаемых в H_{α} -линию возбужденными атомами водорода пучка в течении времени t_r , пролета атомами пучка области регистрации, составляет

$$N(H_{\alpha}) = N_{3s} + N_{3p} + N_{3d}, \quad (1)$$

где N_m – число фотонов, испускаемых атомами водорода пучка на переходах $3s \rightarrow 2p, 3p \rightarrow 2s, 3d \rightarrow 2p$, соответственно. N_m определяется числом спонтанных распадов за время пролета t_r за время пролета области регистрации возбужденными атомами водорода всего объема импульса пучка и попадающих в приемную систему доплеровской системы регистрации (ДСР) с угловой апертурой $\Delta\varphi_A$

$$N_m = \frac{D\Delta\varphi_A V A_m}{4\pi f} \int_0^{t_r} n_m(x) dt. \quad (2)$$

Здесь D и f -диаметр и фокус собирающей линзы L_1 (рис.1), A_m – вероятности соответствующих спонтанных переходов: $A_{3s} = 0.63 \cdot 10^7 \text{ с}^{-1}, A_{3p} = 2.2 \cdot 10^7 \text{ с}^{-1}, A_{3d} = 6.4 \cdot 10^7 \text{ с}^{-1}$, V – объем импульса пучка длительностью τ , равный $V = \pi d^2 c t \beta / 4$, $n_m(x)$ – плотности возбужденных атомов водорода в точке регистрации в состояниях $3s, 3p$ и $3d$:

$$n_m(x) = n_m^0(x) e^{A_m t}. \quad (3)$$

Плотности возбужденных атомов водорода $n_m^0(x)$ после прохождения частицами тракта источника длиной x находятся из уравнения с учетом процессов возбуждения ионов H^- и атомов H^0 при столкновениях с остаточным газом и процессов радиационного распада возбужденных уровней и распада в результате столкновений

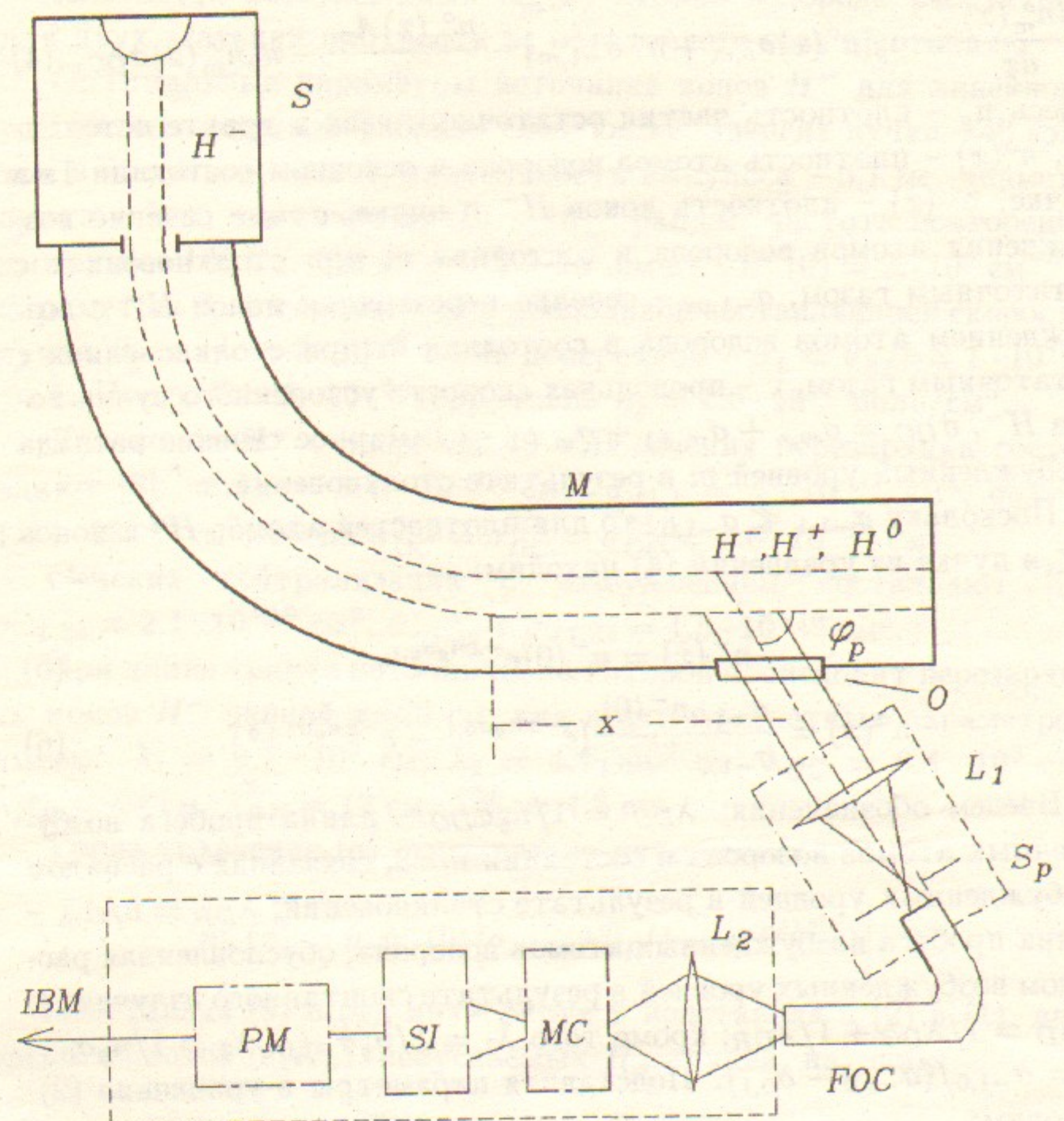


Рис. 1: Доплеровская система регистрации пучка ионов H^- в источнике: S – источник ионов H^- , M – магнит поворотный, O – оптическое окно, L_1 – линза собирающая, S_p – щель приемного блока, FOC – волоконно-оптический кабель, L_2 – линза фокусирующая спектрального блока, MC – монохроматор, SI – сканирующий интерферометр, PM – фотоумножитель.

с остаточным газом:

$$\frac{dn_m^o(x)}{dx} = n_g[n^o(x)\sigma_{o,m} + n^-(x)\sigma_{-1,m}] - \frac{n_m^o(x)A_m}{v} - n_g n_m^o(x)\sigma_{DC}. \quad (4)$$

Здесь n_g – плотность частиц остаточного газа в тракте источника, $n^o(x)$ – плотность атомов водорода в основном состоянии $1s$ в пучке, $n^-(x)$ – плотность ионов H^- в пучке, $\sigma_{o,m}$ – сечение возбуждения атомов водорода в состояния m при столкновениях с остаточным газом, $\sigma_{-1,m}$ – сечение перезарядки ионов H^- с возбуждением атомов водорода в состояния m при столкновениях с остаточным газом, v – продольная скорость ускоренного пучка ионов H^- , $\sigma_{DC} = \sigma_{m,o} + \sigma_{m,+1} + \sigma_{m,-1}$ – суммарное сечение распада возбужденных уровней m в результате столкновений.

Поскольку $\sigma_{-1,1} \ll \sigma_{-1,0}$, то для плотностей атомов H^o и ионов H^- в пучке из уравнений (4) находим:

$$n^-(x) = n^-(0)e^{-xn_g\sigma_{0,1}}, \quad (5)$$

$$n^o(x) = \frac{\sigma_{-1,0}n^-(0)}{\sigma_{-1,0} - \sigma_{0,1}}(e^{-xn_g\sigma_{0,1}} - e^{-xn_g\sigma_{-1,0}}). \quad (6)$$

Введем обозначения: $\lambda_{DC} = 1/n_g\sigma_{DC}$ – длина пробега возбужденных атомов водорода в состоянии $m=3$, связанная с распадом возбужденных уровней в результате столкновений; $\lambda_{DR} = v/A_m$ – длина пробега возбужденных атомов водорода, обусловленная распадом возбужденных уровней в результате спонтанного излучения; $1/\lambda_D = 1/\lambda_{DC} + 1/\lambda_{DR}$; кроме того $\lambda_1 = 1/n_g\sigma_{-1,0}$; $\lambda_2 = 1/n_g\sigma_{0,1}$; $B = \sigma_{-1,0}/(\sigma_{-1,0} - \sigma_{0,1})$. Подставляя параметры в уравнение (2), находим:

$$\begin{aligned} \frac{dn_m^o(x)}{dx} + \frac{n^o(x)}{\lambda_D} = \\ = n_g[B\sigma_{o,m}n^-(0)(e^{-x/\lambda_2} - e^{-x/\lambda_1}) + n^-(0)\sigma_{-1,m}e^{-x/\lambda_1}] \end{aligned} \quad (7)$$

Решая это уравнение с учетом начальных условий $n_m^o(0) = 0$, получим:

$$\begin{aligned} n_m^o(x) = n_g n^-(0) \left[B\sigma_{o,m}(\lambda_D^{-1} - \lambda_2^{-1})^{-1}(e^{-x/\lambda_2} - e^{-x/\lambda_D}) + \right. \\ \left. (\sigma_{-1,m} - B\sigma_{o,m})(\lambda_D^{-1} - \lambda_1^{-1})^{-1}(e^{-x/\lambda_1} - e^{-x/\lambda_D}) \right]. \end{aligned} \quad (8)$$

Плотность возбужденных $n_m^o(x)$ атомов водорода рассчитаем для двух значений плотности n_g остаточного газа в источнике.

Оптимальные параметры источника ионов H^- для линейного ускорителя мезонной фабрики следующие: энергия пучка – 40 кэВ, ток в импульсе – 0.2 А, длительность импульса – 0.1 мс, диаметр пучка – 2 см, эмиттанс пучка – 10^{-4} рад·см, частота повторения импульсов 100 Гц. Тогда $v = 2.8 \cdot 10^8$ см·с $^{-1}$, $n^-(0) = 2 \cdot 10^9$ см $^{-3}$ и параметры β составляют: для продольной составляющей скорости пучка $\beta_{||} = v/c = 7 \cdot 10^{-3}$ и для поперечной – $\beta_{\perp} = v_{\perp}/c = 1 \cdot 10^{-4}$.

1. Пусть $P = 5 \cdot 10^{-5}$ торр, тогда $n_g = 1.6 \cdot 10^{12}$ моль/см 3 .

Для ионов H^- с энергией 40 кэВ сечения перезарядки составляют [8]: $\sigma_{-1,0} = 8.7 \cdot 10^{-16}$ см 2 , $\sigma_{-1,1} = 4 \cdot 10^{-17}$ см 2 , $\sigma_{0,1} = 1.43 \cdot 10^{-16}$ см 2 , тогда $\sigma_{DC}^{3s} = \sigma_{DC}^{3p} = \sigma_{DC}^{3d} = 1.6 \cdot 10^{-15}$ см 2 .

Сечения нейтрализации с возбуждением составляют [9]: $\sigma_{-1,3s} = 2.1 \cdot 10^{-18}$ см 2 , $\sigma_{-1,3p} + \sigma_{-1,3d} = 1.5 \cdot 10^{-18}$ см 2 .

При длине тракта источника, на которой происходит перезарядка ионов H^- равной $x=20$ см, для других расчетных параметров имеем: $\lambda_1 = 0.7 \cdot 10^3$ см, $\lambda_2 = 4.4 \cdot 10^3$ см, $\lambda_{DC} = 0.4 \cdot 10^3$ см, $\lambda_{DR}^{3s} = 44$ см, $\lambda_{DR}^{3p} = 12$ см, $\lambda_{DR}^{3d} = 4.3$ см.

Тогда уравнение (8) существенно упрощается

$$n_m^o(x) = n_g n^-(0) \left[\sigma_{-1,m} \lambda_{DR}^m (1 - e^{-x/\lambda_{DR}^m}) \right]. \quad (9)$$

Подставляя (9) в (4), интегрируя и подставляя в (2) и (1), для числа фотонов $N(H_{\alpha})$, испускаемых H_{α} -линией, находим:

$$N(H_{\alpha}) = \frac{DV\Delta\varphi_A}{4\pi f} \sum_m n_m^o(x) (1 - e^{-A_m t_r}). \quad (10)$$

При диаметре линзы L_1 оптической системы регистрации равном $D = 6$ см время регистрации излучения H_{α} -линии составит $t_r = D/v = 0.2 \cdot 10^{-7}$ с. Подставляя в (10) значения всех параметров, находим

$$N(H_{\alpha}) = 3 \cdot 10^5 \text{ фот/имп.} \quad (11)$$

2. При давлении остаточного газа $P = 5 \cdot 10^{-4}$ торр и его плотности в тракте источника $n_g = 1.6 \cdot 10^{13}$ мол·см $^{-3}$, $\lambda_1 = 70$ см, $\lambda_2 = 440$ см, $\lambda_{DC} = 40$ см при аналогичных других параметрах. В этом случае уравнение (8) имеет вид:

$$n_m^o(x) = n_g n^-(0) \left[\sigma_{o,m} + B \lambda_D^m (1 - e^{-x/\lambda_D^m}) + (\sigma_{-1,m} - B \sigma_{o,m}) (\lambda_D^{-m} + \lambda_1^{-1})^{-1} (e^{-x/\lambda_1} - e^{-x/\lambda_D^m}) \right]. \quad (12)$$

Здесь $\sigma_{0,m}$ – сечение возбуждения атомов водорода в состояния 3s, 3p и 3d при их столкновении с частицами остаточного газа в источнике: $\sigma_{o,3s} = 1 \cdot 10^{-17}$ см 2 , $\sigma_{o,3p} = 1.5 \cdot 10^{-17}$ см 2 , $\sigma_{o,3d} = 7 \cdot 10^{-18}$ см 2 [10]. Расчетные значения параметров $n_m^o(x)$ будут составлять: $n_{3s}^o(x) = 2.8 \cdot 10^5$ см $^{-3}$, $n_{3p}^o(x) = 3.6 \cdot 10^5$ см $^{-3}$, $n_{3d}^o(x) = 3.4 \cdot 10^5$ см $^{-3}$. Подставляя значения всех параметров в уравнение (10), для числа фотонов $N(H_\alpha)$ в этом случае имеем:

$$N(H_\alpha) = 4.2 \cdot 10^6 \text{ фот/имп.} \quad (13)$$

3 Параметры доплеровской системы регистрации

Вкладом в доплеровскую ширину контура H_α -линии от разброса продольных скоростей частиц ускоренного пучка $\Delta\beta_{||}$ можно пренебречь при угле регистрации излучения φ_r близком к "магическому" углу φ_M равном [4]

$$\varphi_M = \arccos\beta_{||}. \quad (14)$$

Поскольку средняя продольная скорость частиц пучка в источнике составляет $v = 2.8 \cdot 10^8$ см·с $^{-1}$, то магический угол равен $\varphi_M = 89.6^\circ$. При совпадении угла регистрации излучения с магическим углом φ_M в доплеровской системе регистрации будут наблюдаться две H_α -линии: смещенная на 0.03 нм линия, испускаемая возбужденными при перезарядке ионов на остаточном газе

атомами водорода пучка; и несмещенная линия, излучаемая возбужденными атомами водорода остаточного газа, образующимися в результате диссоциации молекулярного водорода при столкновении с ускоренными ионами и атомами водорода пучка $[H^-(H_o) + H_2 \rightarrow H^-(H^o) + H_o^*(n = 3) + H_o]$. Концентрация молекулярного водорода в остаточном газе в тракте источника достаточно велика ($\sim 10^{-4}$ торр) и интенсивность несмещенной H_α -линии будет сравнима с интенсивностью смещенной H_α -линии, а ее спектральная ширина составляет

$$\Delta\lambda_{v_T} = 2\lambda_o v_T / c. \quad (15)$$

При средней тепловой скорости остаточного газа $v_T = 1.38 \cdot 10^6 [3E(\varepsilon B)]^{1/2}$ ширина несмещенной H_α -линии составляет 0.1 нм. Ширина доплеровски уширенного контура H_α -линии, излучаемой возбужденными атомами водорода ускоренного пучка, [4]

$$\Delta\lambda_D = 2\lambda_o \beta_{\perp} \cos\theta, \quad (16)$$

в нашем случае будет равна 0.13 нм. Для разделения по спектру этих двух H_α -линий необходимо угол регистрации φ_r выбирать несколько отличным от магического угла φ_M . Отклонение угла регистрации $\Delta\varphi_r$ от магического угла должно удовлетворять условию [4]

$$\pm\Delta\varphi_r \leq 10^2 \frac{\Delta\lambda_D}{\lambda_o \beta_{||}} \leq 30^\circ. \quad (17)$$

при котором вкладом от разброса продольных скоростей пучка $\Delta\beta_{||}$ в ширину доплеровского контура смещенной H_α -линии можно пренебречь. Следовательно угол регистрации доплеровской системы можно выбрать равным $\varphi_r = 60^\circ$. В этом случае разделение по спектру двух H_α -линий составит 2.3 нм, что позволяет достаточно просто выделить смещенную H_α -линию, излучаемую ускоренным пучком. Вклад в ширину доплеровского контура $\Delta\lambda_D$ H_α -линии при этом будет равен порядка 10^{-3} нм.

Вклад в ширину доплеровского контура, связанный с угловой апертурой $\Delta\varphi_A$ приемного блока доплеровской системы, устраняется при выполнении условия [4]

$$\Delta\varphi_A \leq \frac{0.1\Delta\lambda_D}{\lambda_0\beta_{||}} \leq 0.3^\circ. \quad (18)$$

Увеличение интенсивности регистрируемой H_α -линии достигается при использовании линзы L_1 в приемном блоке доплеровской системы диаметром D (рис.1), в фокусе f которого находится щель шириной равной

$$\Delta l = f \cdot \Delta\varphi_A. \quad (19)$$

При фокусе линзы $f = 20$ см ширина щели приемного блока должна составлять 1 мм. Излучение H_α -линии из приемного блока доплеровской системы с помощью волоконно-оптического кабеля выводится для спектрального анализа в спектральный блок, состоящий из монохроматора и скрещенного с ним сканирующего интерферометра Фабри-Перо. Монохроматор выделяет смещенную H_α -линию, испускаемую возбужденными атомами водорода ускоренного пучка, а ширина доплеровского контура регистрируется с помощью сканирующего интерферометра и фотоумножителя, сигнал с которого подается на ЭВМ.

4 Выводы

Сделанные в настоящей работе расчеты показывают, что для невозмущающего контроля расходности и эмиттанса пучка ионов H^- , вытягиваемого из источника, можно использовать пассивную доплеровскую спектроскопию пучка частично возбужденных атомов водорода, которые получаются при нейтрализации ионов пучка и возбуждении атомов водорода пучка на остаточном газе в тракте источника. При этом нет необходимости вводить в тракт источника газовую мишень и для регистрации доплеровского конту-

ра H_α -линии можно использовать фотоэлектронную регистрацию контура H_α -линии, а не режим счета фотонов.

Литература

- [1] Деревянкин Г.Е., Дудников В.Г. Формирование пучков ионов H^- для ускорителей в поверхностно-плазменных источниках // Препринт ИЯФ СО АН СССР. 1979, N79-17.
- [2] Деревянкин Г.Е., Дудников В.Г., Трошков М.Л. Особенности формирования пучков ионов H^- в поверхностно-плазменных источниках для ускорителей // Препринт ИЯФ СО АН СССР. 1982, N82-110.
- [3] Derevyankin G.E., Dudnikov V.G. Production of brightness H^- beams in surface plasma soursec // AIP Conf. Proc., 1984, N111, p.376-397.
- [4] Анциферов В.В. Доплеровская спектроскопия высокоинтенсивных пучков атомов и ионов // ЖТФ. 1992, т.62, вып.5, с.71-80.
- [5] Antsiferov V.V. Measurement of high intensity atomic and ionic beams by using method of Doppler laser spectroscopy // AIP Conf.Proc., 1993, -N287, p.616-617.
- [6] Анциферов В.В., Бескоровайный В.В. Параметры плазмы водородно-цезиевого разряда планотронного источника ионов H^- // ЖТФ. 1993, т.63, вып.4, с.50-57.
- [7] Анциферов В.В., Бескоровайный В.В. Пространственно-временные характеристики разряда пенниговского источника ионов H^- // ЖТФ, 1993, т.63, вып.5, с.41-47.
- [8] Tawara H., Russec A. Charge changing processes in hydrogen beams // Rev. Mod. Phys., 1973, v.45, N2, p.178-229.
- [9] Geddes J., Hill J., Gilbody H.B. Formation of excited hydrogen atoms in electron detachment collisions by 3-25 keV H^- ions // J.Phys.B: Atom. Mol. Phys., 1981, v.14, N12, p.4837-4846.
- [10] Hughes R.H., Petefisch H.M., Kisner H. Excitation of H atoms to the n=3 states by impact of 10-to 35 keV ground-state H atoms on He, Ne, Ar, H_2 , N_2 // Phys. Rev., 1972, v.5, N5, p.2103-2106.

B.B. Анциферов

**Бесконтактное измерение расходности
пучка ионов H^- в источнике**

ИЯФ 96-54

Ответственный за выпуск А.М. Кудрявцев
Работа поступила 31.07.1996 г.

Сдано в набор 27.09.1996 г.

Подписано в печать 27.09.1996 г.

Формат бумаги 60×90 1/16 Объем 0.7 печ.л., 0.6 уч.-изд.л.

Тираж 180 экз. Бесплатно. Заказ № 54

Обработано на IBM PC и отпечатано на
ротапринте ГНЦ РФ "ИЯФ им. Г.И. Будкера СО РАН",
Новосибирск, 630090, пр. академика Лаврентьева, 11.